

The background features numerous blue, semi-transparent spheres of varying sizes floating in a light gray space. Some spheres cast soft gray shadows on the ground plane. In the bottom-left corner, there is a stylized illustration of a desktop computer system, including a tower unit, a monitor, a keyboard, and a mouse.

计算机控制系统

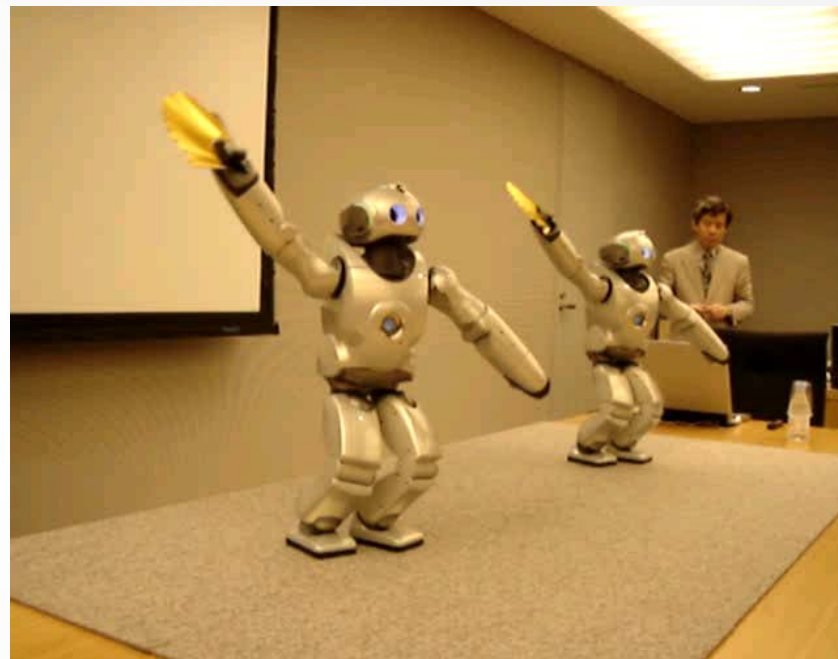
线性离散状态空间

——选自第7.1节 线性离散系统状态空间

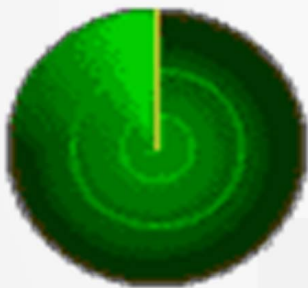
2022年5月



陈枫. 基于视觉的四旋翼飞行系统设计[D]. 杭州电子科技大学, 2016.



Caverly R J, Forbes J R. Flexible Cable-Driven Parallel Manipulator Control: Maintaining Positive Cable Tensions[J]. IEEE Transactions on Control Systems Technology, 2017, PP(99):1-10.



Wang L, Zhang W, Peng K. Adaptive Integrated Guidance and Autopilot for Hypersonic Glider[C]// 中国控制会议. 2017:11414-11419.



现代控制的优点

状态空间描述

动态方程与差分方程

动态方程与脉冲传函

离散动态方程求解

应用举例

01



现代控制的优点



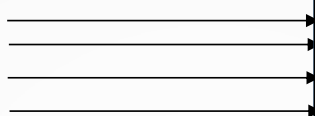
此题未设置答案，请点击右侧设置按钮

关于经典控制理论，下面说法正确的是

- ☐ A 可以很好的反应系统内部的变化
- ☒ B 不能很好的处理多输入系统的问题
- ☐ C 不能处理任意初始条件的系统控制
- ☐ D 以上说法都不对

提交

脉冲传递函数

输入 $u(k)$ 输出 $y(k)$ 

零初始条件下，系统输出的Z变换与输入Z变换之比，称为脉冲传递函数。可表示为

$$G(z) = \frac{Y(z)}{U(z)}$$

对初始条件有限制

零初

只适用于单输入单输出系统

MIMO

只有输入输出信息，看不到系统内部状态的变化情况

无法
确定
最优

02...

状态空间描述



状态：系统在时间域内的动态行为或运动信息的集合。

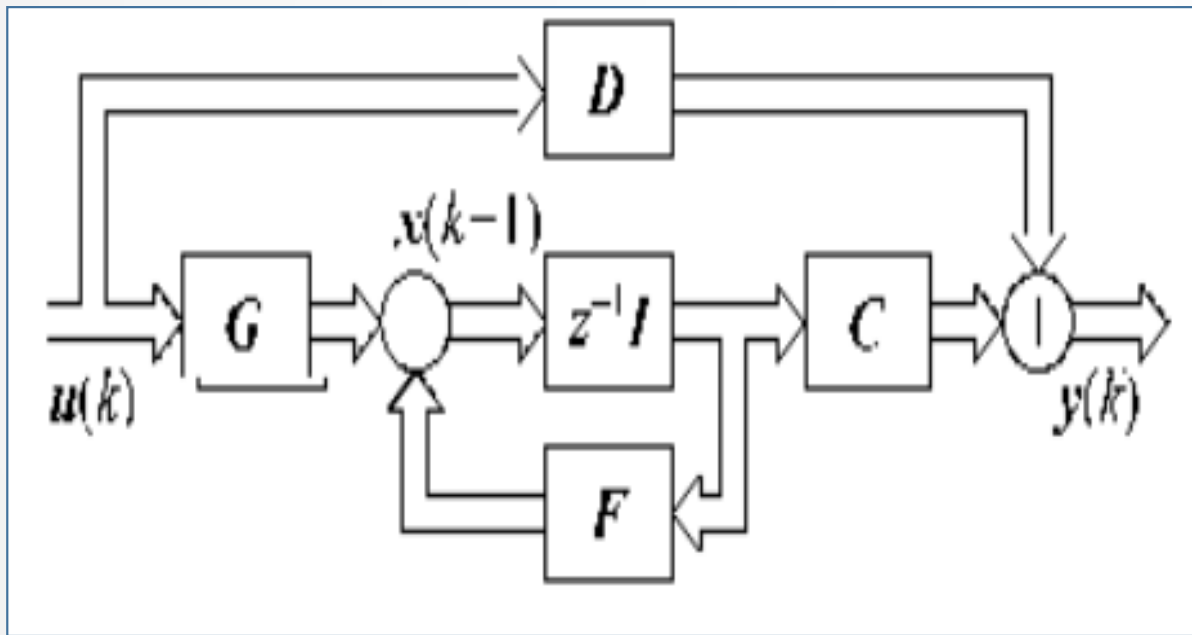
状态变量：能够完全描述系统所用的相对独立且数目最少的一组状态。
极大无冗余组

状态向量：如果完全描述一个给定系统的动态行为需要 n 个状态变量，那么可将这些状态变量看作是向量的各个分量，写成

$$\mathbf{x}(k) = [x_1(k) \quad x_2(k) \quad \cdots \quad x_n(k)]^T$$

状态空间：以 n 维状态变量的各个分量作为基底所形成的 n 维空间。

- 用状态方程和输出方程来描述系统的方法称为状态空间描述。
状态方程和输出方程也被统称为动态方程。

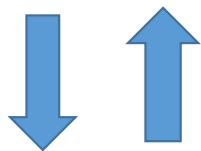


对于线性定常离散系统，
其动态方程可以表示为

$$\mathbf{x}(k+1) = \mathbf{A}\mathbf{x}(k) + \mathbf{B}\mathbf{u}(k); \mathbf{x}(0)$$

$$\mathbf{y}(k) = \mathbf{C}\mathbf{x}(k) + \mathbf{D}\mathbf{u}(k)$$

动态方程



脉冲传递函数

$$\mathbf{x}(k+1) = \mathbf{A}\mathbf{x}(k) + \mathbf{B}\mathbf{u}(k)$$

$$\mathbf{y}(k) = \mathbf{C}\mathbf{x}(k) + \mathbf{D}\mathbf{u}(k)$$

$$G(z) = \frac{Y(z)}{U(z)}$$



03...

动态方程与差分方程



给定如下的单输入-单输出线性定常离散系统的差分方程

$$y(k+n) + a_{n-1}y(k+n-1) + \cdots + a_1y(k+1) + a_0y(k) = b_0u(k)$$

式中， k 表示 kT 时刻； T 为采样周期； $y(k)$ ， $u(k)$ 分别为 kT 时刻的输出量和输入量，可以如下选取状态变量

$$x_1(k) = y(k) \quad x_2(k) = y(k+1) \quad \cdots \quad x_n(k) = y(k+n-1)$$

可得如下所示的动态方程

$$x_1(k+1) = x_2(k) \quad x_2(k+1) = x_3(k) \quad \cdots \quad x_{n-1}(k+1) = x_n(k)$$

$$x_n(k+1) = -a_0x_1(k) - a_1x_2(k) - \cdots - a_{n-1}x_n(k) + b_0u(k)$$

$$y(k) = x_1(k)$$

状态方程
输出方程

04...

动态方程与脉冲传函



动态方程

状态方程

$$x(k+1) = Ax(k) + \underline{Bu(k)}$$

输出方程

$$\underline{y(k)} = Cx(k) + \underline{Du(k)}$$

零初始条件下，系统输出的Z变换与输入Z变换之比，称为脉冲传递函数。

$$G(z) = \frac{Y(z)}{U(z)}$$

$$u(k) \rightarrow U(z)$$

$$x(k) \rightarrow X(z)$$

$$y(k) \rightarrow Y(z)$$

$$\underline{x(k+1) \rightarrow zX(z)}$$

$$Y(z) = C(zI - A)^{-1}BU(z) + DU(z)$$

$$X(z) = (zI - A)^{-1}BU(z)$$

$$Y(z) = CX(z) + DU(z)$$

$$G(z) = C(zI - A)^{-1}B + D$$

05...

离散动态方程求解



$$x(k+1) = Ax(k) + Bu(k)$$

1) 迭代法

如果已知 $k=0$ 时状态 $x(0)$ 及 $k=0 \rightarrow k$ 之间各个时刻的输入量 $u(0), u(1), \dots, u(k)$ ，求得现时刻 k 的状态：

通解

$$x(k) = A^k x(0) + \sum_{j=0}^{k-1} A^{k-j-1} Bu(j)$$

特解

$$x(k+1) = Ax(k) + Bu(k)$$

2) z变换法

$$zX(z) - zx(0) = AX(z) + BU(z)$$

$$X(z) = (zI - A)^{-1}[zx(0) + BU(z)]$$

$$x(k) = Z^{-1}[(zI - A)^{-1}z]x(0) + Z^{-1}[(zI - A)^{-1}BU(z)]$$

• 以上两式比较
可得

$$A^k = Z^{-1}[(zI - A)^{-1}z]$$

06...

应用举例



计算该系统的脉冲传函

$$\begin{cases} \begin{bmatrix} x_1(k+1) \\ x_2(k+1) \end{bmatrix} = \begin{bmatrix} -0.5 & 0 \\ 0 & -0.8 \end{bmatrix} \begin{bmatrix} x_1(k) \\ x_2(k) \end{bmatrix} + \begin{bmatrix} -0.1 \\ -0.4 \end{bmatrix} u(k) \\ y(k) = [1 \quad 1] \begin{bmatrix} x_1(k) \\ x_2(k) \end{bmatrix} + u(k) \end{cases}$$

**结论1：状态方程中A的特
征值就是系统的极点。**



$$G(z) = C(zI - A)^{-1}B + D$$



$$G(z) = C \frac{(zI - A)^*}{|zI - A|} B + D$$

$$G(z) = [1 \quad 1] \left(\begin{bmatrix} z & \\ & z \end{bmatrix} - \begin{bmatrix} -0.5 & 0 \\ 0 & -0.8 \end{bmatrix} \right)^{-1} \begin{bmatrix} -0.1 \\ -0.4 \end{bmatrix} + 1$$

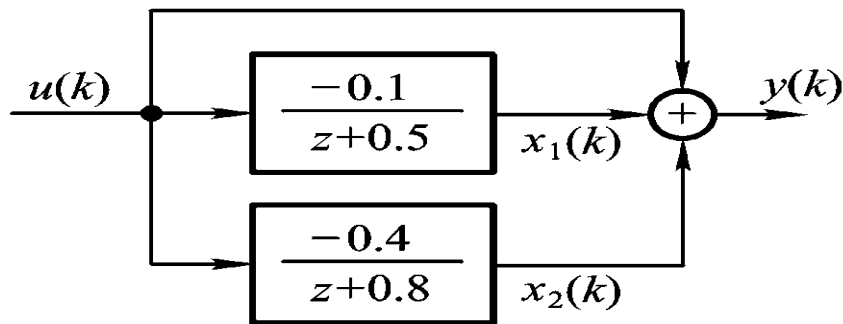
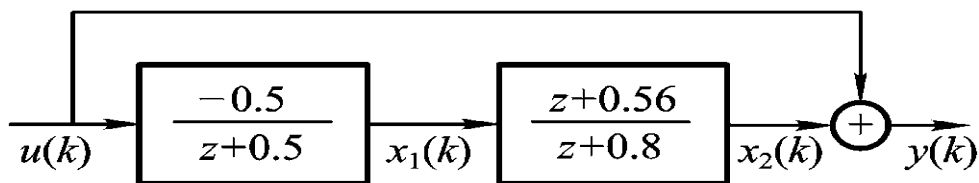
$$G(z) = [1 \quad 1] \begin{bmatrix} \frac{1}{z+0.5} & 0 \\ 0 & \frac{1}{z+0.8} \end{bmatrix} \begin{bmatrix} -0.1 \\ -0.4 \end{bmatrix} + 1$$

$$G(z) = \frac{Y(z)}{U(z)} = \frac{z^2 + 0.8z + 0.12}{(z+0.5)(z+0.8)}$$

计算该系统的动态方程

$$G(z) = \frac{Y(z)}{U(z)} = \frac{z^2 + 0.8z + 0.12}{(z + 0.5)(z + 0.8)}$$

$$G(z) = \frac{Y(z)}{U(z)} = 1 + \frac{-0.5z - 0.28}{(z + 0.5)(z + 0.8)} = \begin{cases} 1 + \frac{-0.5}{z + 0.5} \cdot \frac{z + 0.56}{z + 0.8} \\ 1 + \frac{-0.1}{z + 0.5} + \frac{-0.4}{z + 0.8} \end{cases}$$



串联法

$$1 + \frac{-0.5}{z + 0.5} \cdot \frac{z + 0.56}{z + 0.8}$$

$$X_1(z) = \frac{-0.5}{z + 0.5} U(z)$$

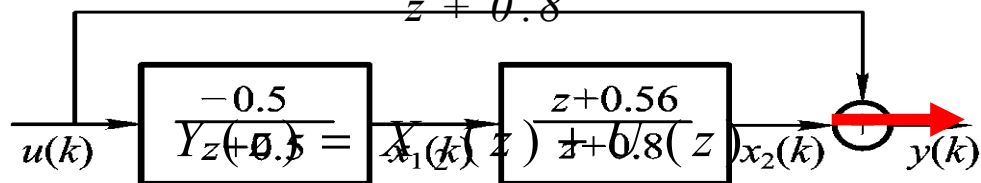


$$x_1(k+1) = -0.5x_1(k) - 0.5u(k)$$

$$X_2(z) = \frac{z + 0.56}{z + 0.8} X_1(z)$$



$$\begin{aligned} x_2(k+1) &= -0.8x_2(k) + x_1(k+1) + 0.56x_1(k) \\ &= 0.06x_1(k) - 0.8x_2(k) - 0.5u(k) \end{aligned}$$



$$y(k) = x_2(k) + u(k)$$

$$G(z) = \frac{Y(z)}{U(z)} = \frac{z^2 + 0.8z + 0.12}{(z + 0.5)(z + 0.8)}$$

串联法

$$\begin{bmatrix} x_1(k+1) \\ x_2(k+1) \end{bmatrix} = \begin{bmatrix} -0.5 & 0 \\ 0.06 & -0.8 \end{bmatrix} \begin{bmatrix} x_1(k) \\ x_2(k) \end{bmatrix} + \begin{bmatrix} -0.5 \\ -0.5 \end{bmatrix} u(k)$$

$$y(k) = \begin{bmatrix} 0 & 1 \end{bmatrix} \begin{bmatrix} x_1(k) \\ x_2(k) \end{bmatrix} + u(k)$$

结论2：同一系统，选择**不同**的状态变量，可获得**不同**的动态方程。

并联法

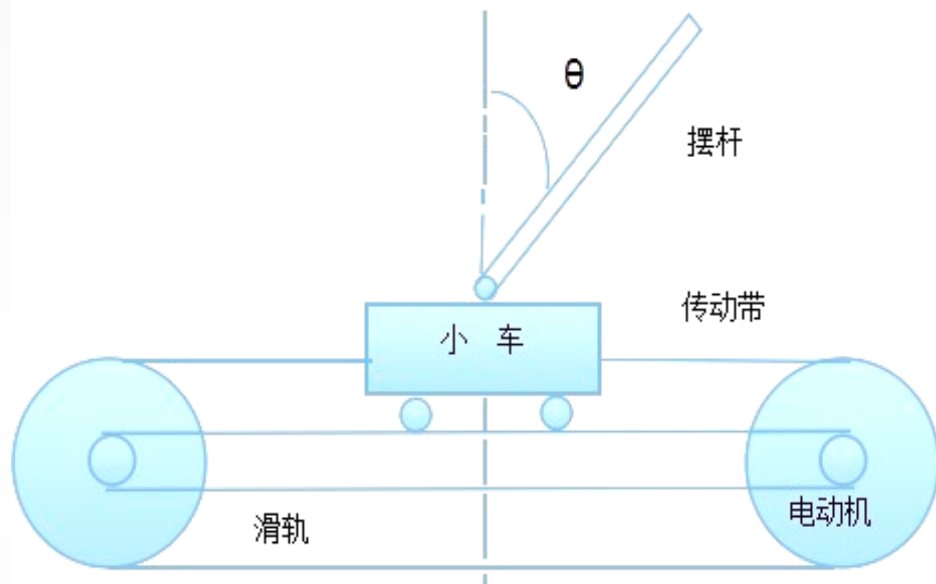
$$\begin{bmatrix} x_1(k+1) \\ x_2(k+1) \end{bmatrix} = \begin{bmatrix} -0.5 & 0 \\ 0 & -0.8 \end{bmatrix} \begin{bmatrix} x_1(k) \\ x_2(k) \end{bmatrix} + \begin{bmatrix} -0.1 \\ -0.4 \end{bmatrix} u(k)$$

$$y(k) = \begin{bmatrix} 1 & 1 \end{bmatrix} \begin{bmatrix} x_1(k) \\ x_2(k) \end{bmatrix} + u(k)$$

结论3：状态变量，选取**不唯一**。



小车倒立摆系统



质量0.1kg，杆长1m的倒立摆，位于质量为1kg的小车上，小车受电机操纵，采样周期T取1秒。请**独立**将系统的脉冲传递函数转换成动态方程；然后**小组成员间讨论和比较**各自的模型及所用转换方法。



一个公式

$$G(z) = C(zI - A)^{-1}B + D$$

两个方程

状态方程

$$x(k+1) = Ax(k) + Bu(k)$$

输出方程

$$y(k) = Cx(k) + Du(k)$$

三个结论

结论1：状态方程中A的特征值就是系统的极点。

结论3：状态变量，选取不唯一。

结论2：同一系统，选择不同的状态变量，可获得不同的动态方程。



参考书籍

李元春 《计算机控制系统》 高等教育出版社;

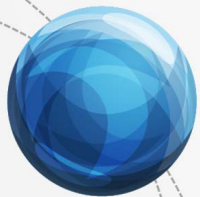
高金源 《计算机控制系统》 高等教育出版社。

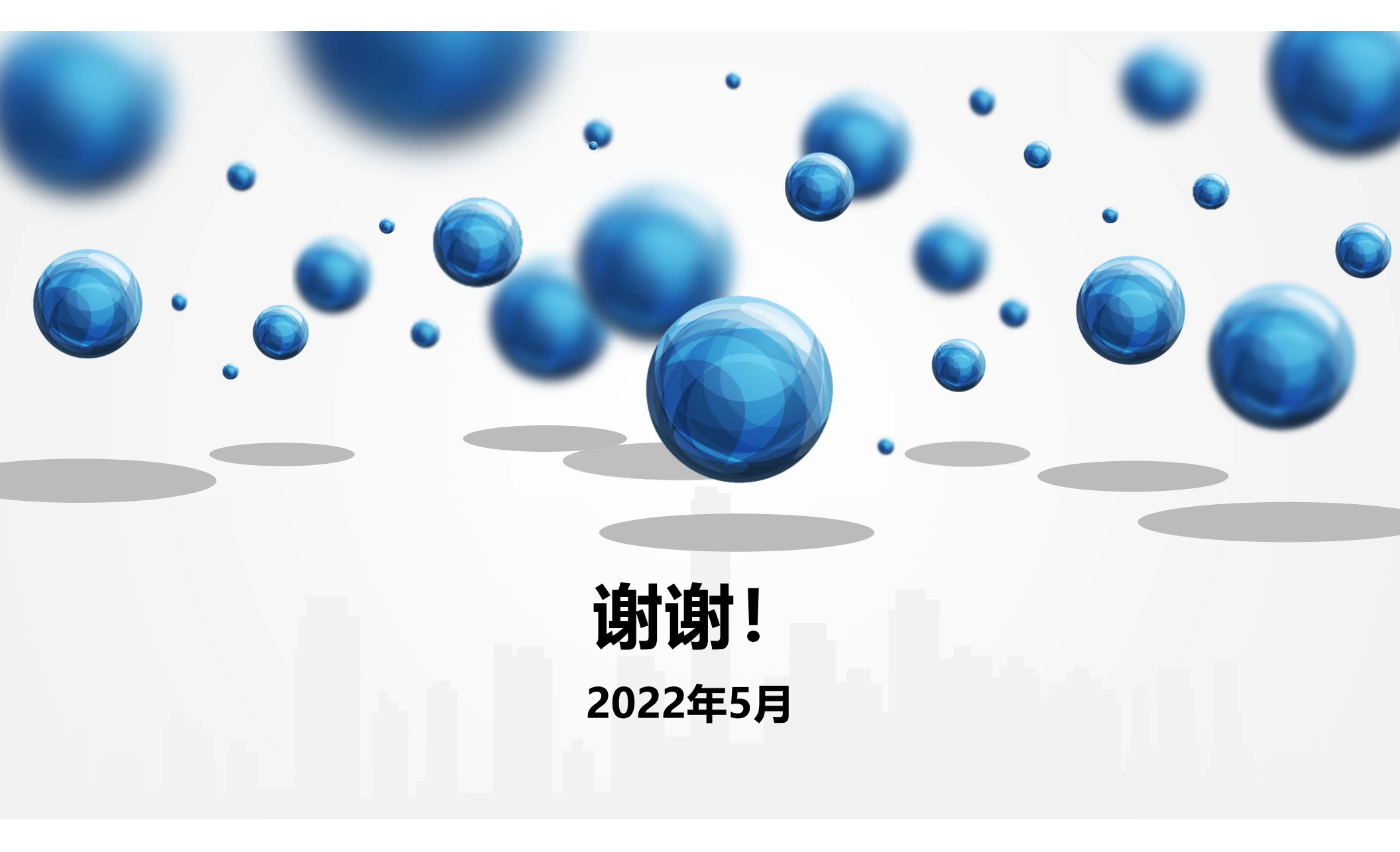
胡寿松 《自动控制原理》 第9.1节。

相关资料

杨燕. 一级倒立摆系统的快速稳定方法研究[J]. 自动化与仪器仪表, 2015(10):166-168.

Salehian S S M, Billard A. A Dynamical System Based Approach for Controlling Robotic Manipulators During Non-contact/Contact Transitions[J]. IEEE Robotics & Automation Letters, PP(99):1-1.





谢谢！

2022年5月